

## 드럼보일러의 制御性 改善에 관한 研究

宣洋來\*, 方時桓 \*\*

### A Study on the Improvement of Control System Performance of Drum Boiler

Y. R. Seon\*, S. H. Bang \*\*

#### ABSTRACT

The control system of a drum boiler is very complex since the evaporation process in the boiler is a multivariable system which is affected one another.

This study is concerned with the dynamic characteristics of the boiler process and improving methods of performance of a drum boiler control system.

The PID control with feedforward of disturbances and the optimal regulator are compared, and the effects of control parameters on the performance of a boiler control system are investigated.

From simulation, it is found that proper adjustment of control parameters significant improvement of response and that performance of a optimal regulated control system is better than that of a conventional PID control system.

#### 記 號 說 明

$A_d$  : 드럼水面의 面積

C : 比熱

E : 에너지

$H_u$  : 燃料의 低位發熱量

i : 엔탈피

l : 水位

M : 質量流量

m : 質量

\* : 慶熙大學校 工科大學

\*\* : 崇實大學校 工科大學

P : 壓力  
 Q : 热流量  
 r : 潛熱  
 V : 體積  
 v : 比體積  
 χ : 乾度  
 $\eta_b$  : 보일러 效率  
 $\theta$  : 溫度  
 - 添字 -  
 $f$  : 燃料

$f_v$  : 蒸發系  
 $f_w$  : 紿水  
 n : 管  
 s : 蒸氣  
 $s_h$  : 過熱蒸氣  
 $s_p$  : 發生蒸氣  
 $v$  : 蒸發管  
 $w$  : 드럼내의 紿水  
 $(\cdot)^s$  : 飽和水 ( $\chi = 0$ )  
 $(\cdot)^v$  : 飽和蒸氣 ( $\chi = 1$ )

## 1. 緒 論

產業用 热併合發電 및 船舶用으로 널리 사용하는 드럼보일러 (drum boiler)의 制御루우프 (control loop)는 蒸氣壓, 燃料流量과 이에 비례하는 燃燒空氣量, 드럼水位, 紿水流量, 蒸氣溫度 및 爐內壓力등이 있으나, 蒸氣溫度는 spray water 流量으로 조절하고, 燃燒空氣流量은 燃料流量에 비례하여 연소가 이루어진다고 할때 보일러의 主制御系는 蒸氣壓과 燃料流量으로된 燃燒制御系와 드럼水位와 紿水流量으로 된 紿水制御系이다.<sup>(1-4)</sup>

이들 制御系는 프로세스 (process) 特性에 따라 PI 또는 PID動作의 制御器로 구성되며, 이들 制御器의 각 파라미터 (parameter) 값에 따라 그 制御性이 상당히 달라지므로 制御性 改善을 위한 PID動作의 파라미터조정이 중요한 문제이다. 이의 조정법으로는 Ziegler-Nichols의 過渡應答法과 限界感度法<sup>(5)</sup>, Cohen-Coon法<sup>(6)</sup> 등이 사용되고 있다. 그러나 이들 방법은 주로 自己平衡性이 있는 프로세스 (process with self-regulation) 인 경우에 사용되며 보일러의 主制御系는 대부분 自己平衡性이 없는 프로세스로서 이들의 적용 어렵다.

한편, 現代理論에서는 制御의 質과 에너지질

약의 두 가지 측면을 고려한 評價函數를 최소로 하는 最適 레귤레이터 (optimal regulator) 法<sup>(7-11)</sup>을 도입하여 制御性 改善을 도모하고 있다.

본 연구에서는 일반적인 드럼보일러에 대한 制御對象 모델을 구하여 실제 보일러에 적용하였으며, 여기에 피드포워드 (feedforward) 를 同伴한 制御回路를 구성하고 制御時의 PID 파라미터를 조정하여 制御性向上을 검토한다. 한편, 보일러의 多變數制御系에 대하여 2次形式의 評價函數를 최소로 하는 LQG/LTR 방법에 피드포워드 방식을 취하여 모델 기준보상기 (制御器)를 설계하고<sup>(12-14)</sup> 응답을 고찰하여 PID制御器로 制御할 경우와 비교한다.

## 2. 보일러 制御對象 모델의 解析

드럼보일러의 主制御系는 蒸發系로서 燃燒制御系와 紿水制御系로 구성되며, 制御對象을 간단화하기 위해 영향이 적은 節炭器는 제외하고 드럼과 降水 및 蒸發管을 대상으로 검토한다.<sup>(2)</sup>

燃燒制御系의 制御量은 드럼蒸氣壓力이며, 操作量은 燃料流量이나, 이외에 外亂인 蒸氣流量과 紿水流量의 영향을 받으며 傳達函數를 유도하여 블록선도로 나타내면 Fig. 1과 같다. 이

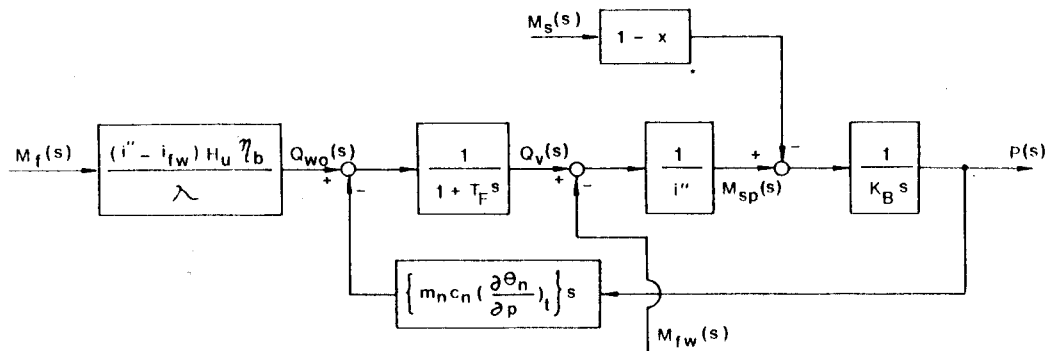


Fig.1. Block diagram of pressure control process

선도에서와 같이 蒸氣壓力變動에 따른 蒸發管  
벽 물질의 热量변화를 피이드백시켰다.<sup>(15,16)</sup>

Fig.1에서

$$K_B = (\partial x / \partial p)_s \cdot M_{fv} \quad \dots \dots \dots \quad (2.1)$$

$T_F$ 는 관벽의 热傳達지연 時定數이며 燃料流量( $M_f$ ), 蒸氣流量( $M_s$ )에 의한 蒸氣壓力( $P$ )의 傳達函數  $G_{pf}(S)$  및  $G_{ps}(S)$ 는 다음과 같다.

$$G_{pf}(S) = \frac{P(S)}{M_f(S)} = \frac{H_u \eta_b}{\lambda i''} \cdot \frac{(i'' - i_{fw}) \{ 1 / (1 + T_F s) \}}{K_B + K_N \{ 1 / (1 + T_F s) \}} \cdot \frac{1}{S} \quad \dots \dots \dots \quad (2.2)$$

$$G_{ps}(S) = \frac{P(S)}{M_s(S)} = - \frac{(1 - x)}{K_B + K_N \{ 1 / (1 + T_F s) \}} \cdot \frac{1}{S} \quad \dots \dots \dots \quad (2.3)$$

여기서,  $K_N = 1 / i'' \cdot \{ m_n c_n (\partial \theta_n / \partial p)_t \}$ ,  $\lambda = i_{sh} - i_{fw}$ 이다.

給水制御系에서는 制御量이 드럼水位이며 操作量은 細水流量이나, 이외에 蒸氣流量 및 燃料流量의 영향을 받아 변화한다. 이들의 관계는

다음 기본식을 토대로 유도된다.

蒸發系內의 質量  $m_{fv}$ 의 변화;

$$dm_{fv} / dt = \Delta M_{fw} - \Delta M_s \quad \dots \dots \dots \quad (2.4)$$

熱量공급으로 인한 에너지의 변화;

$$dE / dt = \Delta Q_v + \Delta Q_w - \Delta Q_s \quad \dots \dots \dots \quad (2.5)$$

질량  $m_{fv}$ 가 갖는 에너지량의 변화;

$$\frac{dE}{dt} = m_{fv} \cdot \frac{dv_{fv}}{dt} + i_{fv} \cdot \frac{dm_{fv}}{dt} \quad \dots \dots \dots \quad (2.6)$$

드럼의 水位변화;

$$\frac{dl}{dt} = \frac{1}{A_d} \cdot \frac{dv_{fv}}{dt} = \frac{v_{fv}}{A_d} \cdot \frac{dm_{fv}}{dt} + \frac{m_{fv}}{A_d} \cdot \frac{dv_{fv}}{dt} \quad \dots \dots \dots \quad (2.7)$$

式(2.4)~式(2.7)을 토대로 細水流量( $M_{fw}$ ), 蒸氣流量( $M_s$ ) 또는 燃料流量( $M_f$ ) 변화에 따른 드럼水位( $l$ )의 傳達函數  $G_{lfw}(S)$ ,  $G_{ls}(S)$  및  $G_{lf}(S)$ 는 다음과 같다.

$$G_{lfw}(S) = \frac{L(S)}{M_{fw}(S)} = - \frac{(i_{fv} - i_w) T_c (\partial v_{fv} / \partial x)_p}{(1-x) \gamma A_d} + \frac{v_{fv}}{(1-x) \gamma A_d} \left\{ \frac{(i'' - i_w) + T_c \gamma S}{1 + \frac{T_c}{1-x} S} \right\} \frac{1}{S} \quad \dots \dots \dots \quad (2.8)$$

$$G_{ls}(s) = \frac{L(s)}{M_s(s)} = \left[ \frac{(1-\chi) |(\partial v_{fv}/\partial P)_s|}{\{ K_B + K_N [1/(1+T_F)] \cdot m_{fv} \}} \right]$$

$$\cdot \left\{ \frac{m_{fv}}{A_d} - \frac{v_{fv}}{A_d} \right\} \frac{1}{S} \quad \dots \dots \dots (2.9)$$

$$G_{lf}(s) = \frac{L(s)}{M_f(s)} = \frac{(i'' - i_{fw}) H_u \eta_b}{\lambda} \cdot \frac{1}{1+T_F S}$$

$$\cdot \left\{ \frac{T_c \cdot (\partial v_{fv}/\partial x)_p}{(1-x) \gamma A_d} - \frac{v_{fv}}{(1-x) \gamma A_d} \right. \\ \cdot \left[ \frac{1}{1+T_c/(1-x) \cdot S} \right] \cdot \frac{1}{S} \} + G_{pf}(s) \\ \cdot G_{lp}(s) \quad \dots \dots \dots (2.10)$$

여기서,  $T_c$ 는 蒸發管의 물의 循環時定數이며, 式(2.10)의 蒸氣壓力( $P$ )변화에 대한 드럼水位( $l$ )의 傳達函數  $G_{lp}(s)$ 는 다음과 같다.

$$G_{lp}(s) = \frac{L(s)}{P(s)} = - \frac{|(\partial v_{fv}/\partial P)_s| \cdot m_{fv}}{A_d}$$

이들 特性式을 다음과 같은 實제보일러에 적용하였다.

蒸氣發生量 ; 104000 kg/h (29.0 kg/S)

給水溫度 ; 200°C

드럼蒸氣壓力 ; 122 kg/cm<sup>2</sup>

燃料流量 ; 6850 kg/h (1.9 kg/S)

過熱器出口溫度 ; 527°C

보일러效率 ; 92.5%

적용된 보일러 制御對象의 블록선도는 Fig. 2 와 같으며 계산된 傳達函數는 式(2.11)~ 式(2.16)과 같다.

$$G_{pf}(s) = \frac{0.141}{(1+19.79 S)S} \quad \dots \dots \dots (2.11)$$

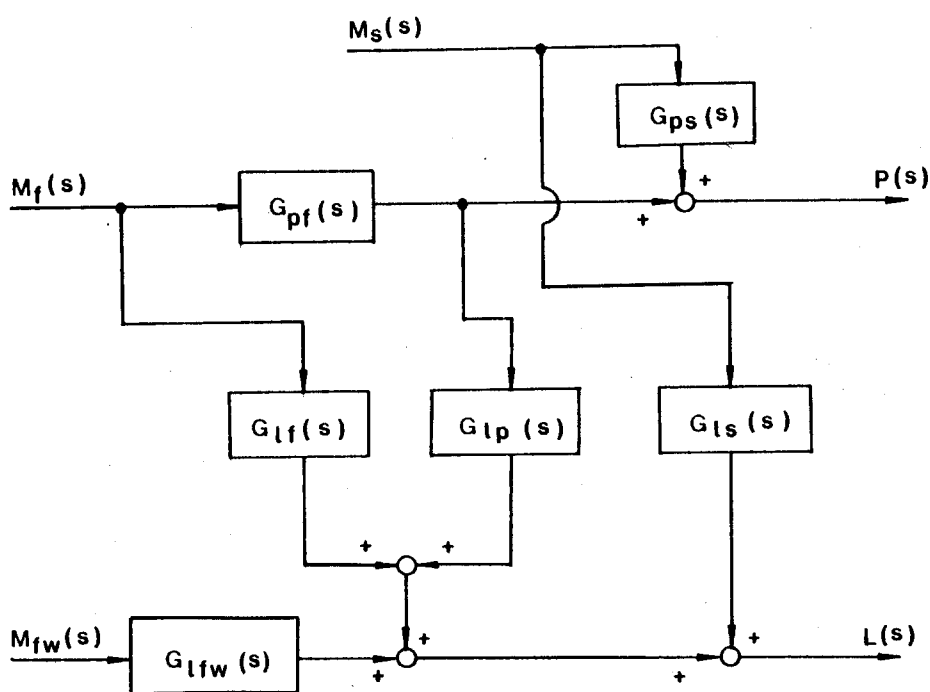


Fig. 2. Process transfer functions

$$G_{ps}(s) = -\frac{0.0136(1+29.3s)}{(1+19.79s)s} \quad \dots\dots\dots (2.12)$$

$$G_{lfw}(s) = 2.071 \times 10^{-4} \cdot \frac{(1-22.56s)(1+9.1s)}{(1+9.474s)s} \quad \dots\dots\dots (2.13)$$

$$G_{ls}(s) = -3.7 \times 10^{-5} \cdot \frac{(1+77.03s)}{(1+19.45s)s} \quad \dots\dots\dots (2.14)$$

$$G_{lp}(s) = -4.03 \times 10^{-3} \cdot \frac{(1-171.98s)}{(1+29.3s)} \\ \cdot \frac{(1+8.98s)}{(1+9.474s)s} \quad \dots\dots\dots (2.15)$$

$$G_{lp}(s) = -0.01534 \quad \dots\dots\dots (2.16)$$

위의 傳達函數들은 積分特性 ( $1/s$ ) 을 갖는

自己平衡性이 없는 프로세스이며, 특히 紙水流量 또는 燃料流量 변화에 대한 드럼水位 변화의 傳達函數  $G_{lfw}(s)$  와  $G_{lf}(s)$  는  $S$ -平面의 右半部에 零이 存在하며 따라서 逆應答 (reverse response) 을 일으키는 프로세스이므로 보일러制御는 상당히 어려운 制御系이다.

### 3. 피이드포워드를 同伴한 PID 制御系에 대한 考察

보일러 프로세스는 비교적 복잡하므로 Fig. 3 과 같이 피이드포워드制御를 도입하고 카스 케이드制御 루우프 (cascade control loop) 로 구성하였다.<sup>(1,3,4)</sup>

蒸氣流量의 負荷變動에 따른 피이드포워드 信號는 演算器  $G_{P1}(s)$  및  $G_{P2}(s)$  를 거쳐 蒸

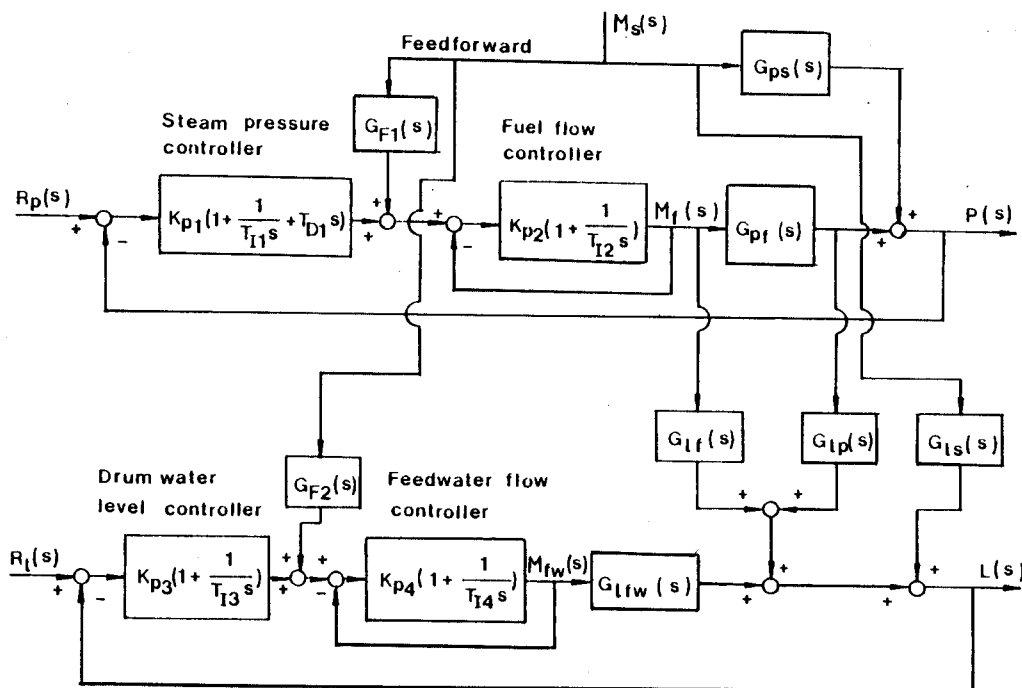


Fig. 3. Total schematic diagram of control system

氣壓力 및 드럼水位制御器의 출력에 加算된다. 이때 피이드포워드 모델의 傳達函數는 다음과 같다.

$$G_{F1}(S) = G_{ps}(S)/G_{pf}(S),$$

$$G_{F2}(S) = G_{ls}(S)/G_{lfw}(S)$$

蒸氣壓力制御器와 燃料流量制御器 및 드럼水位制御器와 給水流量制御器는 직렬로 연결되어 있고 蒸氣壓力制御器는 PID動作이며 그 외에는 PI動作이다.

일반적으로 현장에서의 보일러제어는 주로 蒸氣流量(負荷)변동에 대한 制御性向上을 도모하게 되므로 蒸氣流量  $1\text{kg}/\text{S}$  (약 3.5% 負荷變動) 증가시켰을 때의 制御性을 검토하였으며, PID制御器의 퍼래미터를 조정하여 시뮬레이션을 통한 응답특성으로부터 制御性改善을 시도 한다. 퍼래미터의 조정은 보일러 프로세스특성의 복잡성으로 인해 Ziegler-Nichols 등의 조정법은 적용되기 어려우므로, 모델로 이용한 보일러현장의 값을 토대로 하여 실시한다.

제어기의 여러 퍼래미터 값에 대한 蒸氣壓力

(P) 및 드럼水位(1)의 시뮬레이션 결과는 Fig. 4~8과 같다. 이들의 응답특성을 고찰하면 다음과 같다.

蒸氣壓力制御(燃燒制御系)에서 外亂인 蒸氣流量을  $1\text{kg}/\text{S}$  증가시켰을 때의 蒸氣壓力의 應答特性은

1. 蒸氣壓力制御器의 比例계인  $K_{p1}$ 이 작을수록 制御性이 惡化된다.

2. 이때 積分時間  $T_{I1}$ 이 클수록 制御性은 좋아지나 진동주기는 커진다.

3. 또한 微分時間  $T_{D1}$ 이 클 수록 制御性은 양호하나  $T_{D1} = 1/4 \cdot T_{I1}$ 가 바람직하다.

드럼水位制御(給水制御系)에서 外亂인 蒸氣流量을  $1\text{kg}/\text{S}$  증가시켰을 때의 드럼水位의 應答特性은

1. 드럼水位制御器의 比例계인  $K_{p3}$ 는 너무 크거나 작을 때 制御性이 惡化되며 비교적 크게 취한다.

2.  $K_{p3} = 1.0$ 인 경우 積分時間  $T_{I3}$ 가 클 때 ( $T_{I3} = 300\text{ sec}$ ) 양호함을 알 수 있다.

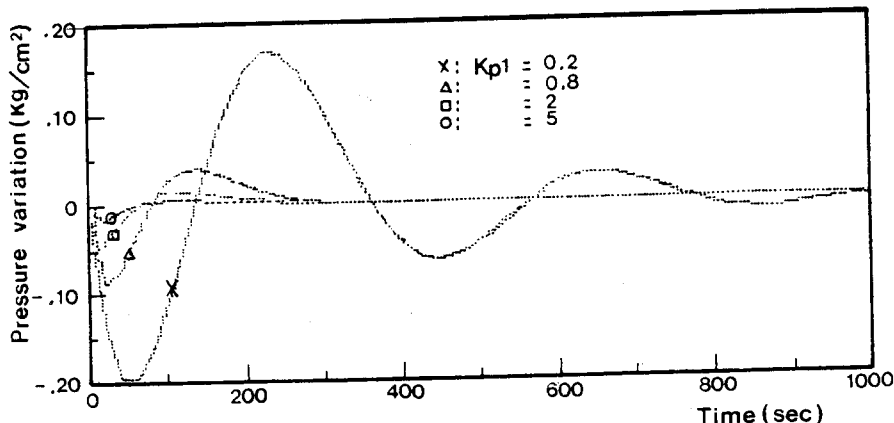


Fig. 4. Effect of  $K_{p1}$  on the pressure response due to steam load variation

$(K_{p2}=1, T_{I1}=80, T_{I2}=60, T_{D1}=20)$

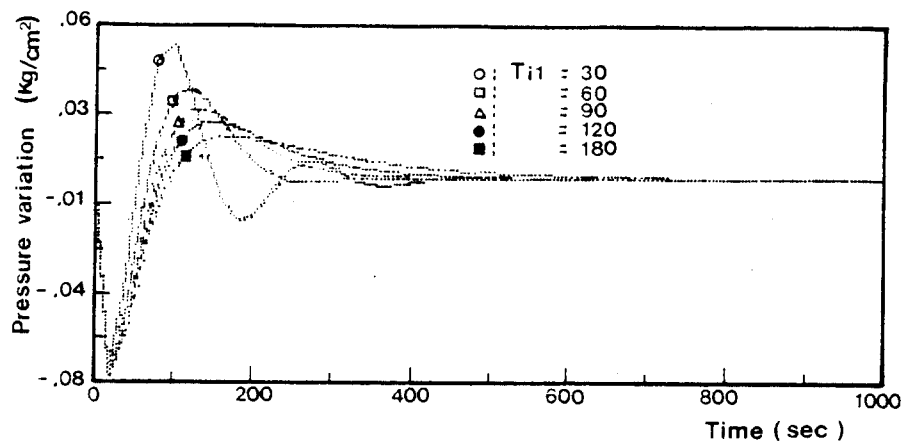


Fig.5. Effect of  $T_{I1}$  on the pressure response due to steam load variation  
( $K_{p1}=2$ ,  $K_{p2}=1$ ,  $T_{I2}=60$ ,  $T_{D1}=T_{I1}/4$ )

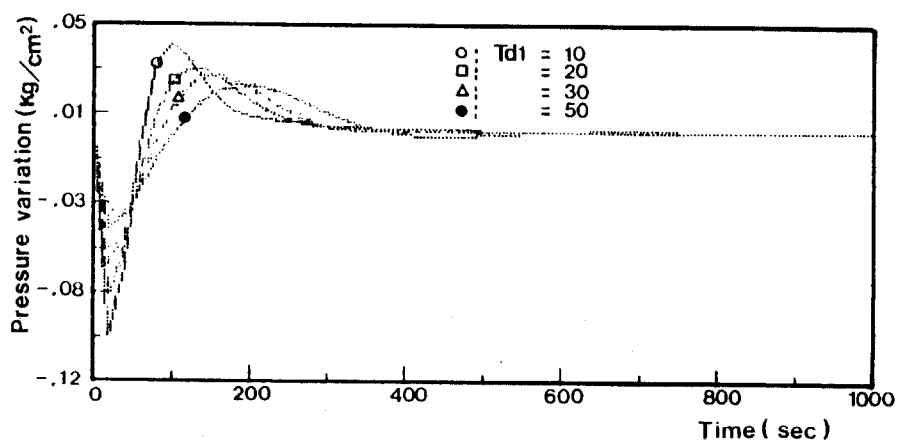


Fig.6. Effect of  $T_{D1}$  on the pressure response due to steam load variation  
( $K_{p1}=1$ ,  $K_{p2}=1$ ,  $T_{I1}=80$ ,  $T_{I2}=60$ )

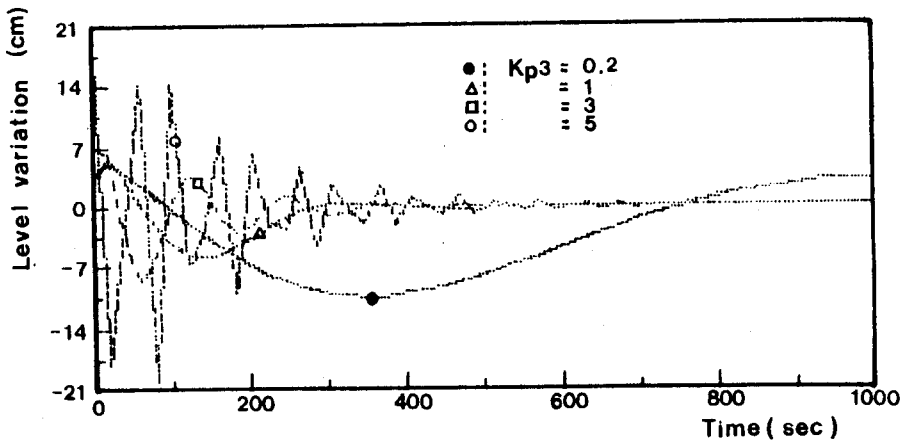


Fig.7. Effect of  $K_{p3}$  on the drum level response due to steam load variation  
 $(K_{p4}=1, T_{I3}=120, T_{I4}=60)$

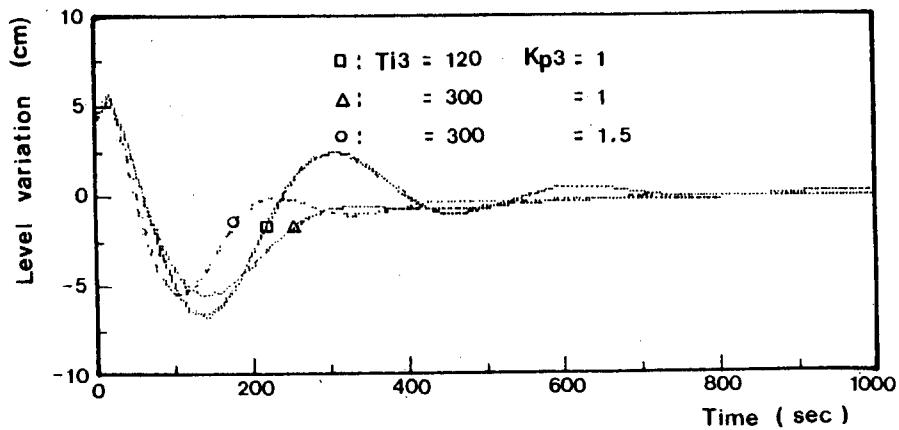


Fig.8. Effect of  $T_{I3}$  on the drum level response due to steam load variation  
 $(K_{p4}=1, T_{I4}=60)$

#### 4. 最適 레귤레이터法에 의한 考察

最適制御理論의 하나인 LQG/LTR (linear quadratic gaussian control with loop transfer recovery) 方法을<sup>(12)</sup> 보일러制御에 적용하여 評價函數를 최소로 하는 모델기준보상기(制御器)의 설계를 한다.

보일러의 狀態方程式, 評價函數 및 잡음강도는 다음과 같이 표시할 수 있다.

$$\begin{cases} \dot{\underline{x}} = A \underline{x} + B \underline{u} + \underline{r} \\ \underline{y} = C \underline{x} + \underline{\eta} \end{cases} \quad \dots \dots \dots (4.1)$$

$$J = \int_0^{\infty} (\underline{x}^T Q \underline{x} + \rho \underline{u}^T R \underline{u}) dt \quad \dots \dots \dots (4.2)$$

$$\begin{cases} E\{\underline{r}\underline{r}^T\} = \theta \delta(t - \tau) \\ E\{\underline{\eta}\underline{\eta}^T\} = N \delta(t - \tau) \end{cases} \quad \dots \dots \dots (4.3)$$

여기서  $\underline{r}$  및  $\underline{\eta}$ 는 입력 및 측정의 백색의 잡음이고  $Q$ ,  $R$ ,  $\theta$  및  $N$ 는 각각 가중행렬이며,  $\rho$ 는 입력의 출력에 대한 가중치 (weighting factor)이다.

LQG/LTR 방법으로 제곱오차의 평균을 최소로 하는 필터(filter)이득  $H$ 를 KBF(Kalman Bucy filter)로 구하고 귀환이득  $F$ 는 LQR(linear quadratic regulator)에 의해 구하여 Fig. 9와 같은 보상기를 설계한다.

$$\text{KBF : } \begin{cases} \dot{\hat{x}} = A \hat{x} + B \underline{u} + H(\underline{y} - \hat{y}) \\ \hat{y} = C \hat{x} \end{cases} \quad \dots \dots \dots (4.4)$$

$$\text{LQR : } \underline{u} = -F \hat{x} \quad \dots \dots \dots (4.5)$$

보일러의 蒸氣流量(負荷)이 변동될 경우에도 드럼내의 蒸氣壓力 및 水位를 일정하게 유지하기 위해서는 피아드포워드制御를 취하는 것이 좋으므로 蒸氣流量변화를 外亂으로 간주하여 블록선도를 작성하면 Fig. 10과 같다.<sup>(13,14)</sup>

보일러制御系를 LQG/LTR 방법으로 보상기를 설계하여 기준입력(蒸氣壓力, 드럼水位) 들에 대한 출력들의 응답과 外亂으로 작용하는 蒸氣流量변화에 대한 출력의 응답을 시뮬레이션하여 구하면 Fig. 11~13와 같다. 이때 기준입력은 드럼蒸氣壓力의 경우  $1 \text{ kg/cm}^2$ , 드럼水位의 경우  $1 \text{ cm}$ 이며, 外亂인 蒸氣流量은  $1 \text{ kg/S}$  변화시켰다.

시뮬레이션 결과를 고찰하면 다음과 같다.

1. 評價函數의 조작량의 출력에 대한 가중치  $\rho$ 가 작아지면 기준입력에 대한 출력(蒸氣壓力 또는 드럼水位應答特性)은 나빠지나 外亂인 蒸氣流量변화에 대한 출력의 定常狀態오차는 작아진다.

2. 가중치  $\rho$ 를 크게 취하면 ( $\rho=0.001$ ) 드럼水位制御에서 過渡狀態의 출력변동량이 PID制御의 경우에 비하여 현저하게 작아지나 過渡狀態는 오래 지속된다.

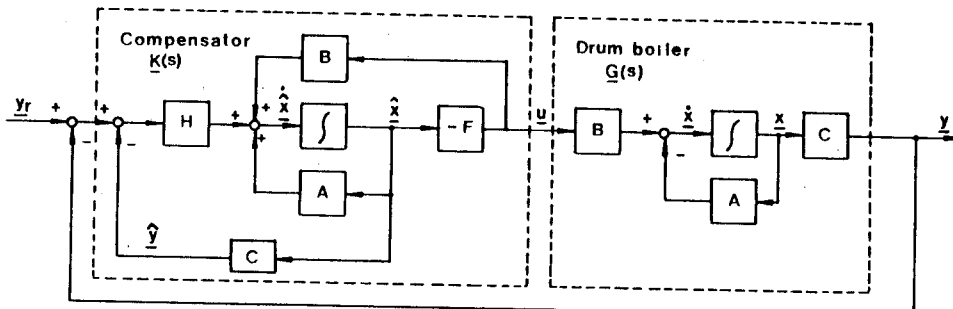


Fig. 9. Schematic diagram of a feedback control system of drum boiler using LQG/LTR

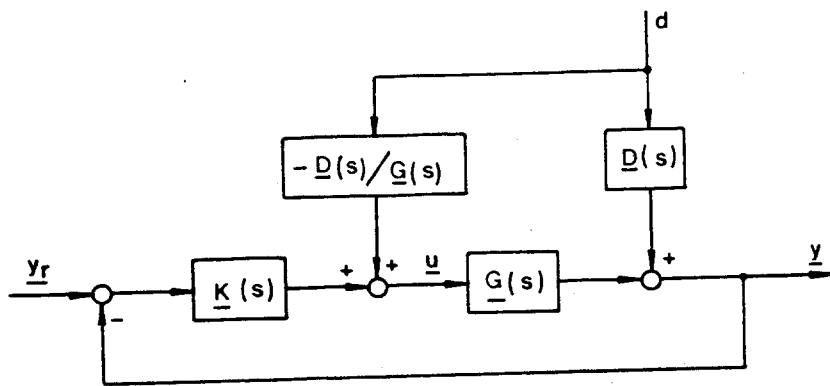


Fig.10. Block diagram of drum boiler control system with feedforward control

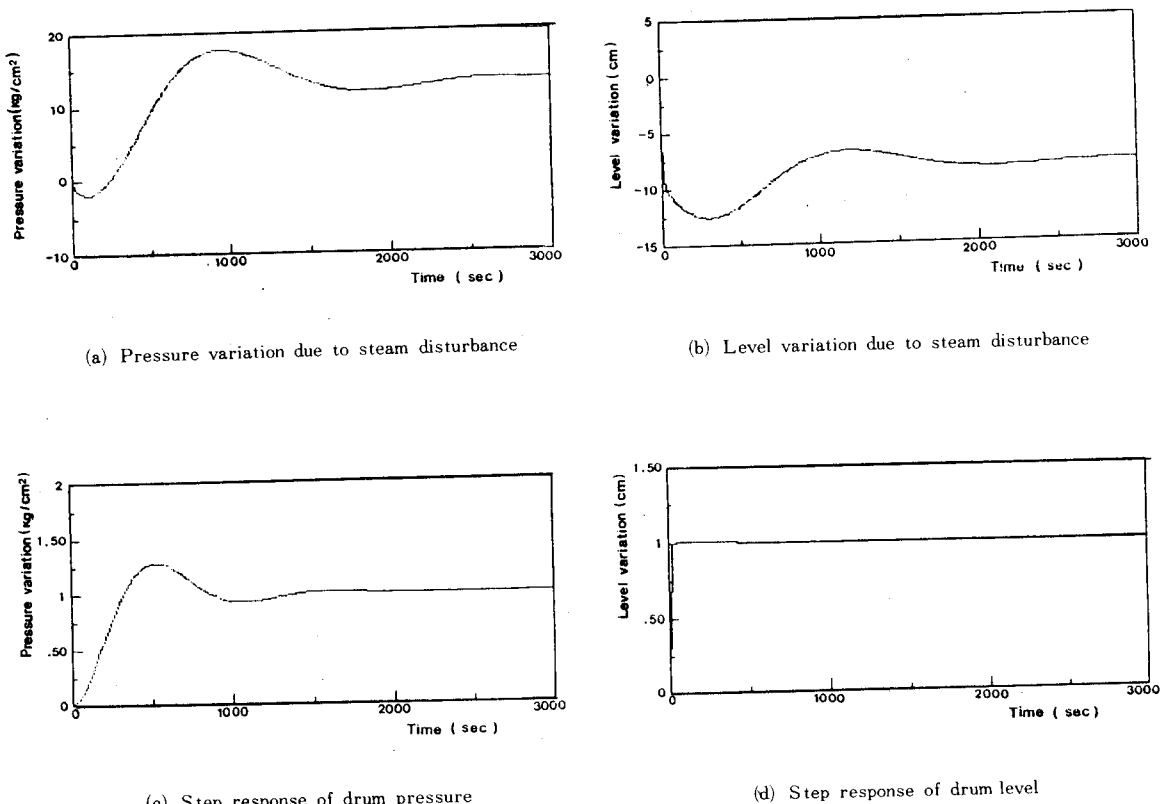
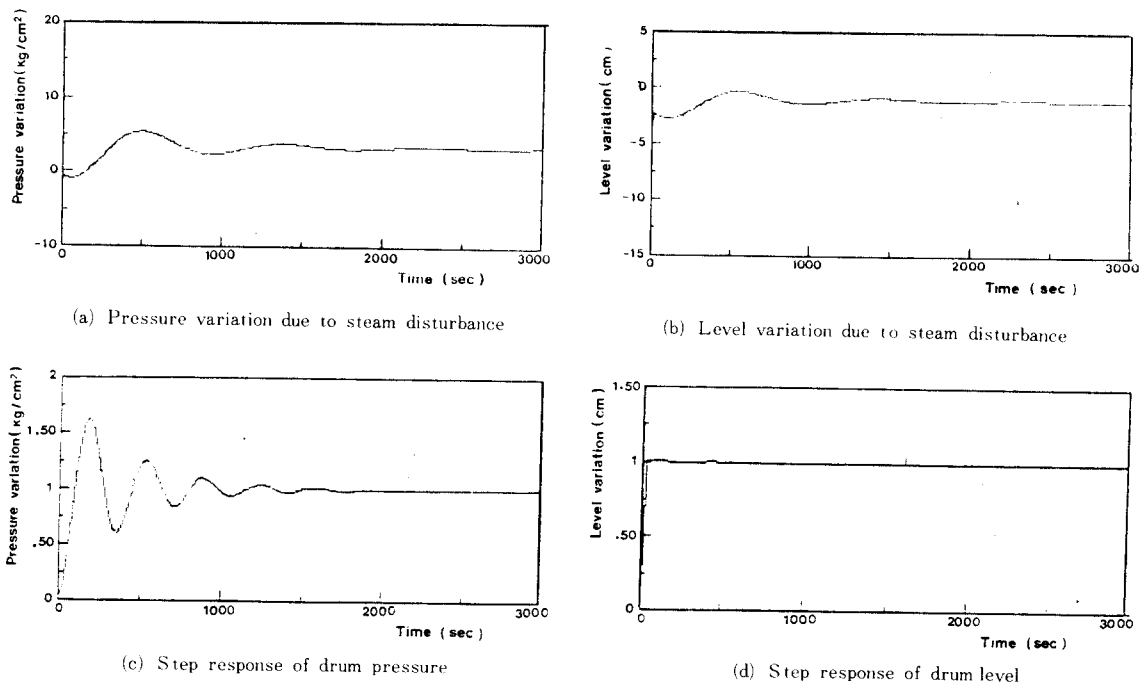
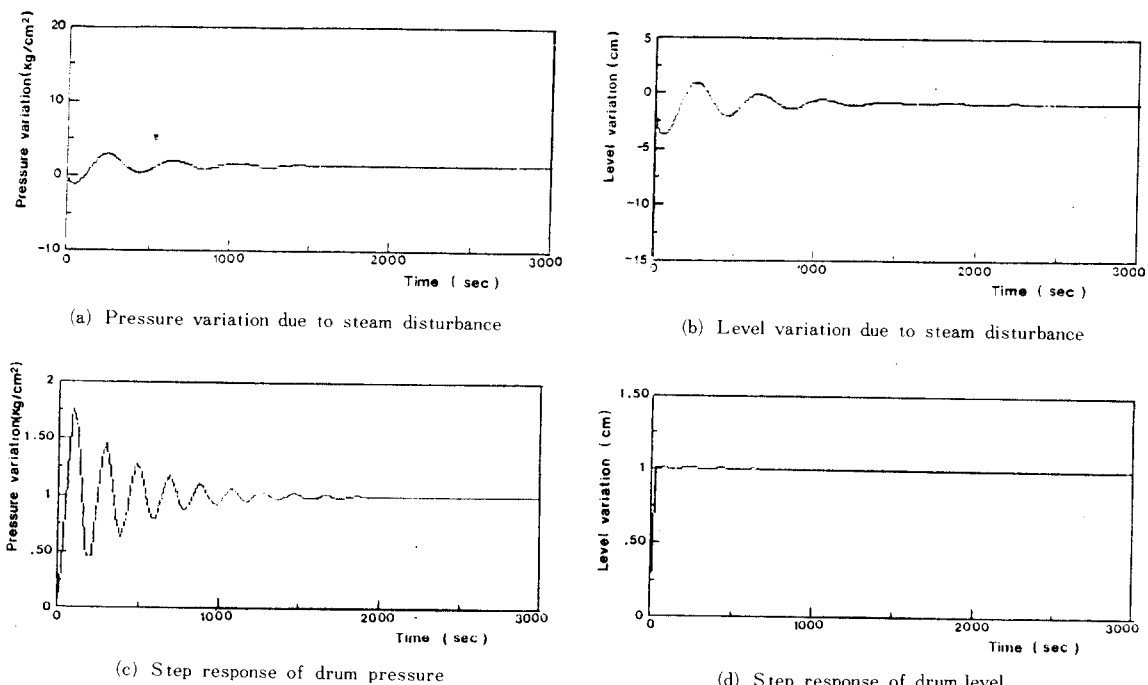


Fig.11. Pressure and drum level response of optimal regulator at  $\rho=1$



**Fig.12. Pressure and drum level response of optimal regulator at  $\rho = 0.1$**



**Fig.13. Pressure and drum level response of optimal regulator at  $\rho = 0.001$**

## 5. 結 論

이상의 검토로부터 다음과 같은 결론을 얻었다.

드럼보일러主制御系의 프로세스특성은 모두가 積分特性( $1/S$ )을 갖는 自己平衡性이 없는 프로세스로서 계속 증가 또는 감소하고, 특히 給水流量 및 燃料流量변화에 의한 드럼水位변화는 逆應答을 일으켜 制御하기 어려운 系이므로 피이드포워드制御를 가해야 한다.

보일러에 피이드포워드를 동반한 PID制御系를 구성할 경우 外亂인 蒸氣流量변화에 대한 應答特性은, 蒸氣壓力制御에서는 비교적 예민한 동작으로 比例개인  $K_{p1}$ , 積分時間  $T_{I1}$  및 微分時間  $T_{D1}$ 을 크게 하면 制御性이 向上된다. 또 한 드럼水位制御에서도 比例개인  $K_{p3}$  및 積分時間  $T_{I3}$ 을 비교적 크게 하면 制御性은 向上되나, 比例개인  $K_{p3}$ 을 너무 크게 하면 制御性은 悪化된다.

한편, 最適제어레이터를 도입할 경우 조작량의 출력에 대한 가중치  $\rho$ 가 작아지면 外亂인 蒸氣流量변화에 대한 출력(蒸氣壓力, 드럼水位)의 定常狀態오차가 작아진다. 특히 드럼水位制御에서는 가중치  $\rho$ 를 크게 취하면 過渡狀態의 출력변동량이 PID制御時に 비하여 현저하게 작아지므로 最適제어레이터의 우수성이 입증된다. 그러나 過渡狀態는 오래 지속한다.

## 〔参考文獻〕

1. F.G.Shinskey, "Process Control Systems", pp. 168~170, 235~238, McGRAW-HILL, 1979
2. 石谷清幹, "熱機關體系9 蒸氣原動機II", pp.277~310, 山海堂, 1957
3. 計測自動制御學會, "自動制御ハンドブック 機器應用編", pp.448~450, オーム社, 1983
4. 石井保, "計裝制御システム", pp.511~531, 電氣書院, 1973
5. Ziegler, J.G., and Nichols, N.B., "Optimum Settings for Automatic Controllers", Trans. ASME, Vol. 64, No. 11, pp. 759~768, Nov. 1942
6. Cohen, G.H., and Coon, G.A., "Theoretical Considerations of Retarded Control", Taylor Instrument Company's Bulletin, TDS-10A102
7. H.Kwakernaak, R.Sivan, "Linear Optimal Control Systems", pp.304~312, Johnwiley & Sons, 1972
8. 양주호, 하주식, "PID制御器의 最適設計에 관한 연구(II)", 韓國舶用機關學會誌, 제 11 권, 제 3 호, pp. 61~69, 1987
9. A. Tysso, J.C. Brembo, K. Lind, "The Design of a Multivariable Control System for a Ship Boiler", Automatica, Vol. 12, pp. 211~224, 1976
10. R. Cori, C. Maffezzoni, "Practical-Optimal Control of a Drum Boiler Power Plant", Automatica, Vol. 20, No. 2, pp. 163~173, 1984
11. 安藤和昭, "最適レギュレタとボイラ制御への應用", システムと制御, Vol. 27, No. 5, pp. 301~312, 1983
12. 김종식, "LQG/LTR 방법을 이용한 多變數制御시스템 設計", 大韓機械學會誌, Vol. 27, No. 3, pp. 214~220, 1987
13. 田嶋眞一, 安藤和昭, 近藤文治, "最適フィードバックを施した制御系に對するフィードフォワード要素の設計法", 計測自動制御學會論文集, Vol. 17, No. 2, 1981
14. 竹垣盛一, 松井敬三, "最適フィードフォワード補償器の設計法", 計測自動制御學會論

- 文集, Vol.21, No.4, pp.367~373, 1985  
 15. Profos, P, "Die Regelug Von Dampfanlagen", Springer, 1962  
 16. Ritterhoff, J., "Untersuchung über das dynamische Verhalten einer Schiffsturbinenanlage einschl. des Kessels", Institut für Schiffsmaschinen, TU Hanover, 1967

### 附 錄

#### 1. 式(2,8) $G_{lfw}(S)$ 의 유도

式(2.5)와 式(2.6) 및 式(2.4)에  $i''$ 를 곱하여 정리하면

$$(i'' - i_{fv}) \frac{dm_{fv}}{dt} - m_{fv} \frac{di_{fv}}{dt} = (i'' - i_w) \cdot \Delta M_{fw} \quad \dots \dots \dots \quad (i)$$

$$\left. \begin{aligned} \text{乾度 } x &= M_s / M_{\text{total}}, \\ (dx/dt)_p &= 1 / M_{\text{total}} \cdot dM_s / dt \end{aligned} \right\} \dots \dots \dots \quad (ii)$$

$$\frac{di_{fv}}{dt} = \left( \frac{\partial i_{fv}}{\partial x} \right) \frac{dx}{dt} = \frac{\gamma}{M_{\text{total}}} \frac{dM_s}{dt}$$

式(2.4)에서

$$\frac{d^2 m_{fv}}{dt^2} = \frac{dM_{fw}}{dt} - \frac{dM_s}{dt}$$

$$\text{循環時定數 } T_c = m_{fv} / M_{\text{total}}$$

이들을 式(i)에 대입하여

$$(i'' - i_{fv}) \frac{dm_{fv}}{dt} + T_c \gamma \frac{d^2 m_{fv}}{dt^2} = (i'' - i_w) \Delta M_{fw} + T_c \gamma \frac{dM_{fw}}{dt} \quad \dots \dots \dots \quad (iii)$$

$$\frac{dv_{fv}}{dt} = - \left( \frac{\partial v_{fv}}{\partial x} \right)_p \frac{dx}{dt} = - \frac{T_c}{m_{fv}} \left( \frac{\partial v_{fv}}{\partial x} \right)_p.$$

$$\frac{dM_s}{dt} \quad \dots \dots \dots \quad (iv)$$

蒸發管에流入熱量만큼 流出된다고 생각할 때

$$\Delta M_{fw} (i_{fv} - i_w) = \Delta M_s (i'' - i_{fv}) \dots \dots \dots \quad (v)$$

式(iii), 式(iv) 및 式(v)를 式(2.7)에 대입하여  $G_{lfw}(S)$ 를 구한다.

#### 2. 式(2.9) $G_{ls}(S)$ 의 유도

式(2.4)에서

$$\frac{dm_{fv}}{dt} = - \Delta M_s,$$

$$\frac{dv_{fv}}{dt} = \left( \frac{\partial v_{fv}}{\partial p} \right)_s \frac{dp}{dt} = - \left| \left( \frac{\partial v_{fv}}{\partial p} \right)_s \right| \cdot \frac{dp}{dt}$$

및 式(2.3)을 이용하여 式(2.7)로부터  $G_{ls}(S)$ 가 유도된다.

#### 3. 式(2.10) $G_{lf}(S)$ 의 유도(定壓下에서)

式(2.4), 式(2.5) 및 式(2.6)에서

$$\Delta Q_v + i'' \frac{dm_{fv}}{dt} = i_{fv} \frac{dm_{fv}}{dt} + m_{fv} \left( \frac{di_{fv}}{dt} \right)_p$$

여기에 式(ii)를 대입하여 정리하면

$$(1-x) \gamma \frac{dm_{fv}}{dt} + T_c \gamma \frac{d^2 m_{fv}}{dt^2} = - \Delta Q_v \quad \dots \dots \dots \quad (vi)$$

燃料가 燃燒되어 蒸發管에 傳熱되는 热量의 傳達函數는

$$\frac{Q_v(S)}{M_f(S)} = \frac{(i'' - i_{fv}) H_u \eta_b}{\lambda} \cdot \frac{1}{1 + T_F S} \quad \dots \dots \dots \quad (vii)$$

式(2.4), 式(2.5) 및 式(2.6)에서

$$\left. \begin{aligned} \Delta Q_v - \Delta M_s i'' &= - \Delta M_s i_{fv} \\ \frac{dM_s}{dt} &= \frac{1}{(1-x) \gamma} \frac{dQ_v}{dt} \end{aligned} \right\} \dots \dots \dots \quad (viii)$$

$$\text{또, } \frac{dv_{fv}}{dt} = \left( \frac{\partial v_{fv}}{\partial x} \right)_p \frac{dx}{dt} = \left( \frac{\partial v_{fv}}{\partial x} \right)_p \frac{T_c}{m_{fv}}.$$

$$\frac{dM_s}{dt} \quad \dots \dots \dots \quad (ix)$$

式(vi)~式(ix)를 式(2.7)에 대입하여  $G_{lf}(S)$ 를 구한다.